

Table 1. Fractional coordinates ( $\times 10^4$ ) and equivalent temperature coefficients ( $\times 10^4$ ) for non-H atoms

	<i>x</i>	<i>y</i>	<i>z</i>	$U_{eq}(\text{\AA}^2)$
N1	956 (2)	6209 (1)	3651 (1)	631 (5)
C2	481 (2)	7396 (2)	3076 (1)	577 (5)
C3	487 (2)	5080 (2)	3092 (1)	607 (5)
C4	946 (2)	8634 (2)	3641 (2)	715 (8)
C5	474 (2)	9804 (3)	3076 (2)	833 (8)
C6	994 (3)	3786 (2)	3723 (2)	828 (9)

Table 2. Bond lengths (Å) and angles (°)

C2—N1	1.368 (2)	N1—C2—C2*	120.8 (2)
C3—N1	1.310 (2)	N1—C2—C4	119.8 (1)
C2—C2*	1.408 (2)	C2—N1—C3	117.7 (1)
C4—C2	1.405 (3)	N1—C3—C3*	121.5 (2)
C3—C3*	1.443 (2)	N1—C3—C6	117.7 (1)
C6—C3	1.492 (3)	C2*—C2—C4	119.3 (2)
C5—C4	1.348 (3)	C2—C4—C5	119.9 (2)
C5—C5'	1.404 (3)	C3*—C3—C6	120.9 (2)
C6—C6*	2.974 (3)	C4—C5—C5*	120.8 (2)

\*Atom generated by symmetry operation:  $-x, y, \frac{1}{2}-z$ .

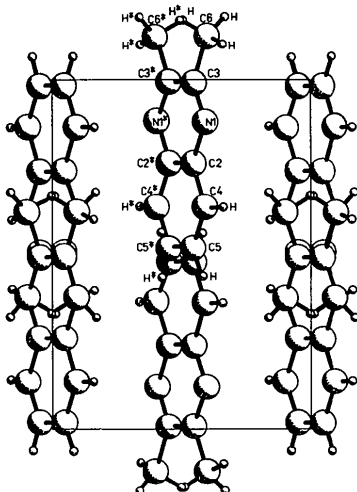


Fig. 1. A projection of the unit-cell content on the *ab* plane with the labelling of the atoms.

molecular geometry is given in Table 2 with atom labelling in Fig. 1. The packing of the molecules in the unit cell is also given in Fig. 1. The figure was drawn with *PLUTO* (Motherwell, 1972).

**Related literature.** Crystal structures containing 2,3-disubstituted derivatives of quinoxaline have aroused

considerable interest because of the repulsion between the neighbouring substituents (Visser, Vos, de Groot & Wynberg, 1968; Visser & Vos, 1971; Lipkowski, Herbich & Andreotti, 1985; Krigier, Kocak & Bekaroglu, 1985). The C6—C6\* distance (Fig. 1) is 2.974 (3) Å. It is shorter than in the other 2,3-disubstituted derivatives of quinoxaline, but the repulsion between the two methyl groups still causes significant deformations of the valence angles about C6 and C6\*.

We thank the British Council for a grant to KW.

#### References

- KRIGIER, C., KOCAK, A. & BEKAROGLU, O. (1985). *Helv. Chim. Acta*, **68**, 581–582.
- LIPKOWSKI, J., HERBICH, J. & ANDREOTTI, G. D. (1985). 9th Eur. Crystallogr. Meet., Turin, Italy. Abstracts, pp. 663–664.
- MOTHERWELL, W. D. S. (1972). *PLUTO*. Program for plotting molecular and crystal structures. Univ. of Cambridge, England.
- SHEDDRICK, G. M. (1976). *SHELX76*. Program for crystal structure determination. Univ. of Cambridge, England.
- SHEDDRICK, G. M. (1986). *SHELXS86*. Program for crystal structure determination. Univ. of Göttingen, Federal Republic of Germany.
- VISSEER, G. J. & VOS, A. (1971). *Acta Cryst.* **B27**, 1793–1801.
- VISSEER, G. J., VOS, A., DE GROOT, A. & WYNBERG, H. (1968). *J. Am. Chem. Soc.* **90**, 3253–3254.

## Die Struktur eines $\alpha$ -thiolierten SAMP-Hydrazons

von Werner HESSE und Martin JANSEN\*

Institut für Anorganische Chemie der Universität Bonn, Gerhard-Domagk-Straße 1, D-5300 Bonn 1,  
Bundesrepublik Deutschland

(Eingegangen am 18. Juli 1989; angenommen am 5. April 1990)

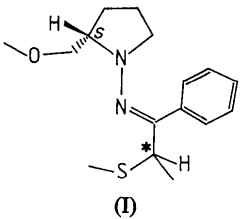
**Abstract.** (2*S*)-(+)2-Methoxymethyl-1-[*(2R*)-2-methylthio-1-phenyl-1-propylideneamino]pyrroli-

dine,  $C_{16}H_{24}N_2OS$ ,  $M_r = 292.4$ , orthorhombic,  $P2_12_12_1$ ,  $a = 6.307$  (2),  $b = 11.243$  (1),  $c = 23.592$  (8) Å,  $V = 1672.91$  Å<sup>3</sup>,  $Z = 4$ ,  $D_x = 1.161$  g cm<sup>-3</sup>,  $\lambda(Mo K\alpha) = 0.71069$  Å,  $\mu = 1.54$  cm<sup>-1</sup>,  $F(000) =$

\* Korrespondenzautor.

632,  $T = 296$  K,  $wR = 0.065$  for 3052 independent observed reflections. The pyrrolidine ring is in an *E* configuration with regard to the C=N bond. The relative absolute configuration of the  $\alpha$ -C atom (2'-sulfenylated) to the 'S' C atom in the pyrrolidine ring is 'R'.

**Experimentelles.** Die Titelverbindung { $\alpha$ -thioliertes SAMP [(2*S*)-1-Amino-2-methoxymethylpyrrolidin]-Hydrazon (**I**)} enthält zwei asymmetrische C-Atome, von denen das eine die absolute Konfiguration (*S*) aufweist. Ziel der Strukturbestimmung war es, die relative Konfiguration des anderen [*\**, siehe (**I**)], zu bestimmen.



Die Vorabreinigung der Verbindung erfolgte destillativ. Durch Umkristallisation des Destillates aus *n*-Hexan wurden farblose, rhombische Kristalle erhalten (Enders & Schäfer, 1988). Ein Kristall mit den Abmessungen  $0.80 \times 0.35 \times 0.25$  mm wurde auf einem Siemens-Stoe AED-2 Diffraktometer mit Mo  $K\alpha$ -Strahlung (Graphitmonochromator) vermessen. Die genauen Gitterkonstanten wurden durch Verfeinerung auf der Basis der durch Messung im positiven und negativen Winkelbereich bestimmten Beugungswinkel von 20 Reflexen ( $\theta = 8-18^\circ$ ) ermittelt. Im Bereich von  $\theta = 1.5-22.5^\circ$  wurden mit  $\omega$ -Scans über  $(1.4 + 0.006\tan\theta)^\circ$  3679 Reflexe vermessen (drei Oktanden:  $hkl$ ,  $\bar{h}\bar{k}l$  und  $h\bar{k}l$ , maximale Meßzeit 36 s/Reflex), von denen 3052 mit  $F_o > 2\sigma(F_o)$  verwandt wurden (keine Mittelung über Friedel-Paare). Aufgrund der (auch auf Filmaufnahmen) beobachteten Auslöschen für  $h00$ :  $h = 2n + 1$ ,  $0k0$ :  $k = 2n + 1$  und  $00l$ :  $l = 2n + 1$  war nur die azentrosymmetrische Raumgruppe  $P2_{1}2_{1}2_{1}$  (Nr. 19) möglich. Während der Messung wurden drei Kontrollreflexe alle 90 min angefahren (136, 200,  $\bar{1},\bar{1},\bar{1}$ ), wobei drei Reorientierungen nötig wurden (Intensitätsschwankungen von 7,6, 6,3 und 7,7%). Nach üblicher Datenreduktion wurde die Struktur mit direkten Methoden (*MULTAN*80, Main, Fiske, Hull, Lessinger, Germain, Declercq & Woolfson, 1980) und Differenzfouriersynthesen gelöst und im Least-Squares-Verfahren verfeinert (*SHELX*76, Sheldrick, 1976). Es wurde eine Wichtung vorgenommen mit  $w = 1/\sigma^2(F_o)$ .  $\sum w(\Delta I)^2$  minimalisiert. Die H-Atome wurden in Differenzfouriersynthesen lokalisiert und zunächst frei verfeinert. Aufgrund

Tabelle 1. Atomparameter und äquivalente isotrope Temperaturfaktoren ( $\text{\AA}^2$ ) (Standardabweichungen in Klammern)

	$x$	$y$	$z$	$U_{\text{eq}}$
N1	1,0177 (9)	0,6501 (4)	0,5986 (2)	0,0481 (32)
N2	0,9870 (9)	0,6475 (4)	0,6574 (2)	0,0468 (32)
O1	1,2763 (9)	0,3679 (4)	0,5638 (2)	0,0822 (35)
S1	0,6230 (3)	0,7415 (2)	0,7605 (1)	0,0717 (11)
C1	1,0145 (12)	0,8283 (5)	0,7830 (3)	0,0669 (44)
C2	0,9088 (8)	0,7336 (6)	0,7468 (2)	0,0488 (36)
C3	0,9507 (8)	0,7454 (6)	0,6839 (2)	0,0435 (34)
C4	0,9671 (11)	0,8674 (5)	0,6591 (3)	0,0458 (38)
C5	1,1646 (11)	0,9048 (6)	0,6394 (3)	0,0662 (46)
C6	1,1869 (15)	1,0167 (7)	0,6162 (3)	0,0809 (62)
C7	1,0166 (16)	1,0925 (7)	0,6121 (3)	0,0819 (60)
C8	0,8247 (14)	1,0573 (6)	0,6326 (3)	0,0786 (56)
C9	0,7968 (11)	0,9452 (6)	0,6562 (3)	0,0663 (45)
C10	0,5373 (11)	0,6060 (6)	0,7285 (3)	0,0871 (54)
C11	1,0412 (11)	0,5288 (5)	0,5763 (2)	0,0504 (42)
C12	0,9990 (13)	0,5429 (6)	0,5137 (3)	0,0769 (51)
C13	0,8364 (13)	0,6413 (6)	0,5099 (3)	0,0774 (52)
C14	0,8521 (12)	0,7108 (6)	0,5646 (2)	0,0677 (45)
C15	1,2600 (13)	0,4823 (5)	0,5887 (3)	0,0615 (45)
C16	1,4828 (14)	0,3194 (6)	0,5663 (4)	0,1029 (63)

Tabelle 2. Ausgewählte Bindungslängen ( $\text{\AA}$ ) und Bindungswinkel ( $^\circ$ ) (Standardabweichungen in Klammern)

N1—N2	1,400 (6)	N1—N2—C3	119,2 (5)
N1—C11	1,468 (7)	N2—N1—C11	110,4 (4)
N1—C14	1,484 (7)	N2—N1—C14	116,6 (5)
N2—C3	1,286 (7)	N2—C3—C4	125,7 (5)
C2—C3	1,515 (7)	N2—C3—C2	115,7 (6)
C3—C4	1,494 (8)	C1—C2—C3	114,3 (6)
S1—C2	1,834 (5)	C3—C2—S1	109,8 (4)
S1—C10	1,784 (7)	C2—S1—C10	100,5 (3)
C11—C15	1,504 (10)	N1—C11—C15	110,2 (5)
O1—C15	1,419 (7)	C11—C15—O1	107,5 (6)
O1—C16	1,413 (9)	C15—O1—C16	113,6 (6)

verbesserter Konvergenz wurde eine abschließende Verfeinerung mit Protonen als 'riding H' mit  $d(\text{C—H}) = 1.08 \text{ \AA}$  und gekoppelten isotropen Temperaturfaktoren (jeweils für alle H-Atome am gleichen C-Atom) durchgeführt. Damit ergaben sich Zuverlässigkeit faktoren von  $R = 0,0835$  und  $wR = 0,0651$  (181 Parameter); die Restelektronendichte in einer abschließenden  $\Delta F$ -Synthese betrug max. + 0,91 und min. - 0,77 e  $\text{\AA}^{-3}$ . Die max. Parameterverschiebung/Standardabweichung in den letzten Zyklen betrug 0,001. Es wurden weder Extinktions-, noch Absorptionskorrekturen durchgeführt; bei der Größe des Kristalls erklärt sich daraus der relativ hohe  $R$ -Wert. Atomformfaktoren aus *International Tables for X-ray Crystallography* (1974).

In Kenntnis der absoluten Konfiguration des optisch aktiven Zentrums im Pyrrolidin Ring (C11, S-konfiguriert) wurde die Konfiguration des C2-Atoms zu 'R' bestimmt. Für das andere Enantiomere (invertierte Koordinaten) ergaben sich insignifikant (0,03%) schlechtere  $R$ - und  $wR$ -Werte.

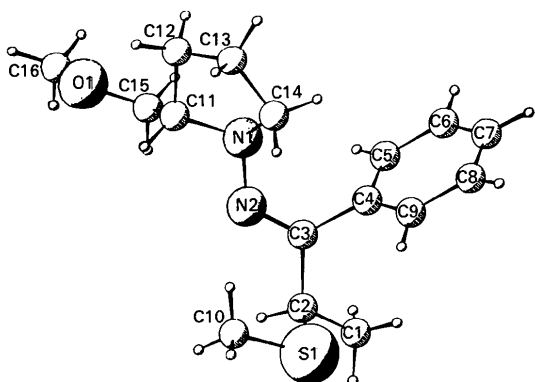


Fig. 1. PLUTO-Zeichnung (Motherwell & Clegg, 1978) eines Moleküls von (I).

Die erhaltenen Atomparameter sind in Tabelle 1 aufgeführt, die Bindungslängen und Winkel in Tabelle 2.\* Fig. 1 zeigt die räumliche Darstellung eines Moleküls des  $\alpha$ -thiolierter SAMP-Hydrazons.

**Relevante Literatur.** Marchelli, Armani, Dossena & Casnati (1984) führten erstmals Strukturuntersuchungen an  $\alpha$ -sulfenylierten Carbonylverbindungen durch. Sie konnten ein reines Enantiomer durch Kristallisation aus einer racemischen Mischung gewinnen und bestimmten die absolute Kon-

\* Die Liste der Strukturfaktoren, der anisotropen Temperaturfaktoren, die Parameter der H-Atome und der Bindungslängen und Winkel sind bei dem British Library Document Supply Centre (Supplementary Publication No. SUP 52912: 35 pp.) hinterlegt. Kopien sind erhältlich durch: The Technical Editor, International Union of Crystallography, 5 Abbey Square, Chester CH1 2HU, England.

figuration dieses Sulfoniumsalzes zu 'R'. An  $\alpha$ -sulfenylierten Aldo-SAMP-Hydrazonen waren Versuche zur Bestimmung der absoluten Konfiguration aufgrund ungenügender Kristallinität der Proben bislang erfolglos geblieben (Mies, 1985; Schäfer, 1986). Aufgrund der hier durchgeföhrten Röntgenstrukturanalyse sollte es jetzt möglich sein, eine Vorhersage über die räumliche Anordnung der über die SAMP/RAMP-Hydrazonemethode eingeföhrten Thiofunktion (Enders & Schäfer, 1988) zu machen.

Wir danken Professor Enders, RWTH Aachen, für die Überlassung von Kristallen und für die Anregung zu dieser Untersuchung.

#### Literatur

- ENDERS, D. & SCHÄFER, T. (1988). Dissertation Schäfer, Aachen, Bundesrepublik Deutschland.  
*International Tables for X-ray Crystallography* (1974). Bd. IV. Birmingham: Kynoch Press. (Gegenwärtiger Verteiler Kluwer Academic Publishers, Dordrecht.)  
 MAIN, P., FISKE, S. J., HULL, S. E., LESSINGER, L., GERMAIN, G., DECLERCQ, J.-P. & WOOLFSON, M. M. (1980). MULTAN80. A System of Computer Programs for the Automatic Solution of Crystal Structures from X-ray Diffraction Data. Univs. York, England, und Louvain, Belgien.  
 MARCELLI, R., ARMANI, E., DOSSENNA, A. & CASNATI, G. (1984). *Tetrahedron*, **40**, 2035–2039.  
 MIES, W. (1985). Dissertation, Bonn, Bundesrepublik Deutschland.  
 MOTHERWELL, W. D. S. & CLEGG, W. (1978). PLUTO. Programm für die Abzeichnung der Molekül- und Kristallstrukturen. Univ. Cambridge, England.  
 SCHÄFER, T. (1986). Diplomarbeit, Bonn, Bundesrepublik Deutschland.  
 SHELDICK, G. M. (1976). SHELX76. Programm für die Strukturbestimmung. Univ. Cambridge, England.

*Acta Cryst.* (1990). **C46**, 1949–1951

## Die Struktur eines $\alpha$ -silylierten SAMP-Hydrazons

von WERNER HESSE UND MARTIN JANSEN

Institut für Anorganische Chemie der Universität Bonn, Gerhard-Domagk-Straße 1, D-5300 Bonn 1,  
 Bundesrepublik Deutschland

(Eingegangen am 28. November 1989; angenommen am 5. April 1990)

**Abstract.** (2S)-(+)-1-[(2R)-2-*tert*-Butyldimethylsilyl-1-phenyl-1-propylideneamino]-2-methoxymethyl-pyrrolidine,  $C_{21}H_{36}N_2OSi$ ,  $M_r = 360\cdot61$ , orthorhombic,  $P2_12_12_1$ ,  $a = 7\cdot2474$  (49),  $b = 17\cdot5489$  (49),  $c = 17\cdot7021$  (60) Å,  $V = 2251\cdot41$  Å $^3$ ,  $Z = 4$ ,  $D_x = 1\cdot064$  g cm $^{-3}$ ,  $\lambda(Mo K\alpha) = 0\cdot71069$  Å,  $\mu = 0\cdot82$  cm $^{-1}$ ,  $F(000) = 792$ ,  $T = 213$  K,  $wR = 0\cdot066$  for 2962 independent observed reflections. The absolute

configuration of the silylated  $\alpha$ -C atom is 'R' on the premise of an 'S' C atom in the pyrrolidine ring.

**Experimentelles.** Die enantioselektive Synthese von  $\alpha$ -Trialkylsilylketonen und -aldehyden ist über die SAMP-/RAMP-Hydrazonemethode möglich (Enders & Lohray, 1987). Hierzu werden die Ketone bzw. Aldehyde nach Umwandlung in die SAMP-